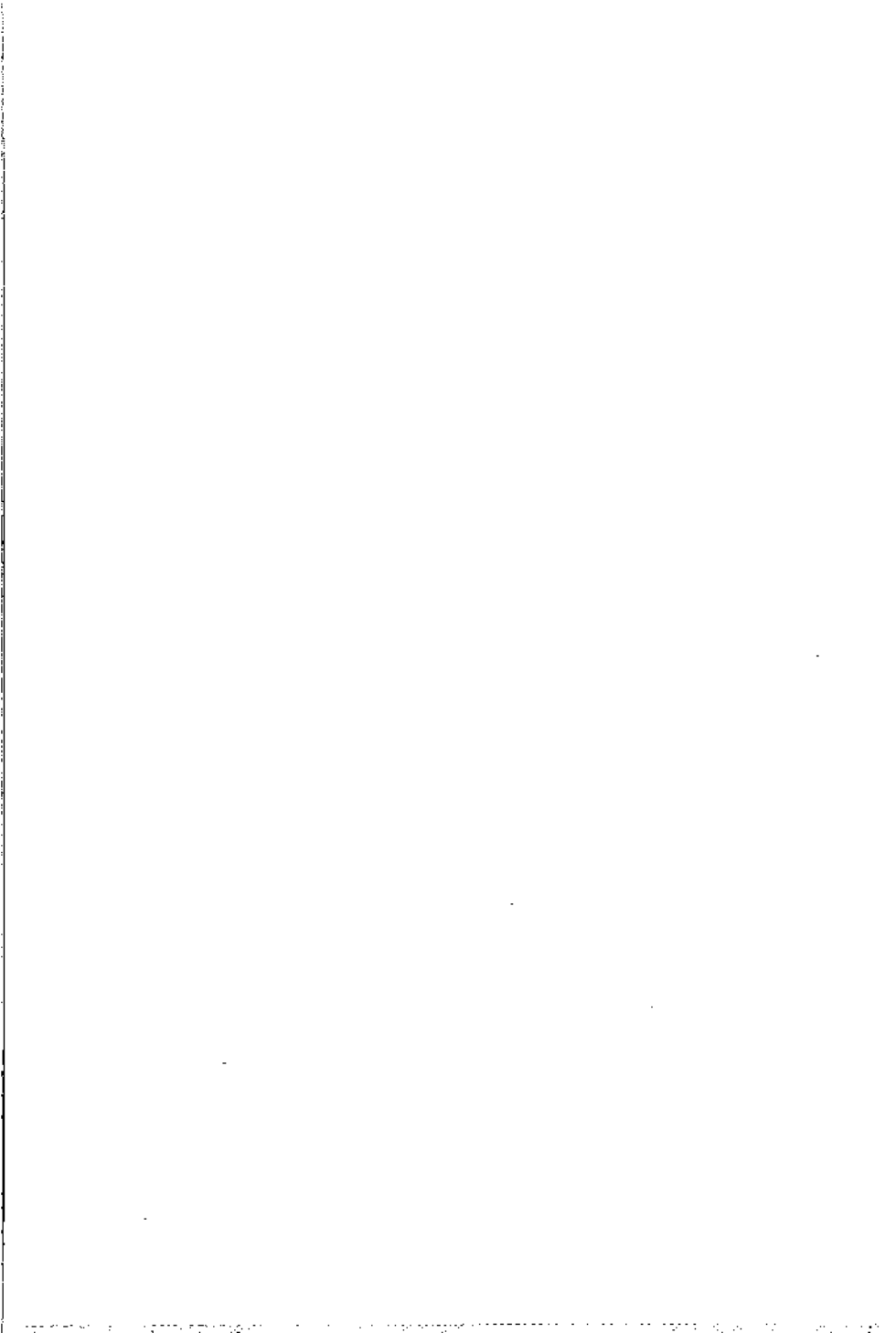


GENEL BİLGİLER



BİRİMLER ÇEVİRİM ÇİZELGELERİ

Metrik	SI	Anglo Amerikan
Uzunluk		
1.0 m	1000 mm	39.4 in, 3.3 ft
1.0 cm	10 mm	0.394 in, 0.033 ft
1.0 mm	1 mm	0.0394 in
Alan		
1.0 m ²	1x10 ⁴ mm ²	1.550 in ² , 10.76 ft ²
1.0 cm ²	100 mm ²	0.155 in ²
1.0 mm ²	1 mm ²	0.00155 in ²
Hacim		
1.0 m ³	1x10 ⁹ mm ³	61 000 in ³ , 35.3 ft ³
1.0 cm ³	1x10 ³ mm ³	0.061 in ³
1.0 l	1x10 ⁶ mm ³	61 in, 0.264 US Galon
Eylemsizlik Momenti		
1.0 m ⁴	1x10 ¹² mm ⁴	2.4x10 ⁶ in ⁴
1.0 cm ⁴	1x10 ⁴ mm ⁴	0.024 in ⁴
Küvet, Yük, Gerilme, Basınç		
1.0 t	10 kN	2200 l b, 2.2 k
1.0 kg	10 N	2.2 l b
1.0 t/m	10 kN/m	0.67 k/fl
1.0 kg/m	10 N/m	0.67 l b/fl
1.0 t/m ²	10 kN/m ²	0.205 ksf
1.0 t/cm ²	100 N/mm ² (MPa)	14.24 ksi
1.0 kg/m ²	10 N/m ²	0.205 psf
1.0 kg/cm ²	0.1 N/mm ² (MPa)	14.24 psi
Özgül Ağırlık		
1.0 t/m ³	10 kN/m ³	62.5 l b/ft ³
1.0 kg/m ³	10 N/m ³	0.0625 l b/ft ³
1.0 kg/cm ³	0.01 N/mm ³	36.1 l b/in ³
Moment, İş, Enerji		
1.0 tm	10 kNm	86.9 ink, 7.24 ftk
1.0 tcm	0.1 kNm	0.869 ink, 869 in l b
1.0 kgm	10 kNmm	86.9 in l b
1.0 kgcm	100 Nmm	0.869 in l b

SI Uluslararası Birimler Sistemi

Uluslararası ilişkiler, eğitim, bilim ve teknolojide getirdiği kolaylıklar, diğer birim sistemlerinin neden olduğu kavram karışıklığına son vermesi ve kendi içindeki uyumluluğu SI sisteminin yaygınlaşmasına neden olmuştur. Mühendislik alanında da son derece gerekli olan bu birimler sistemiyle ilgili bilgiler ve mesleğimize ilişkin çevrim çizelgeleri aşağıda sunulmuştur.

Çizelge 1. SI Temel Birimleri

Büyüklük	Adı	Simgesi
uzunluk	metre	m
kütle	kilogram	kg
zaman	saniye	s
elektrik akımı	amper	A
termođinamik sıcaklık	kelvin	K
madde miktarı	mol	mol
ışık şiddeti	kandela	cd

Çizelge 2. Diğer SI Temel Birimleri

Büyüklük	Adı	Simgesi	Tanımı
düzlem açısı	radian	rad	
uzay açısı	steradyan	sr	
frekans	herz	Hz	s^{-1}
kuvvet	newton	N	$kg\ m/s^2$
gerilme	pascal	Pa	N/m^2
enerji	joule	J	N.m
güç	watt	W	J/s
elektrik yükü	coulomb	C	A.s
elektrik gerilimi	volt	V	W/A
elektrik direnci	ohm	Ω	V/A
elektrik sığası	farad	F	C/V
elektrik iletkenliği	siemens	S	Ω^{-1}
magnetik akı	weber	Wb	V.s
magnetik akı yoğunluğu	tesla	T	Wb/m^2
indüktans	henry	H	Wb/A
ışık akısı	lümen	lm	cd.sr
aydınlatma	lüks	lx	lm/m^2

Çizelge 3. SI Birimlerinin Örnekleri

Örnek	Simge	Çarpan
exa	E	10^{18}
pefa	P	10^{15}
tera	T	10^{12}
giga	G	10^9
mega	M	10^6
kilo	k	10^3
hektö	h	10^2
deka	da	10^1
desi	d	10^{-1}
santi	c	10^{-2}
milli	m	10^{-3}
mikro	μ	10^{-6}
nano	n	10^{-9}
piko	p	10^{-12}
femto	f	10^{-15}
atto	a	10^{-18}

Çizelge 4. SI Sistemiyle Birlikte Kullanılabilecek Birimler

Adı	Simgesi	SI einsinden değeri
dakika	min	60 s
saat	h	3600 s
gün	d	86400 s
derece	°	$(\pi/180)$ rad
dakika	'	$(\pi/10800)$ rad
saniye	"	$(\pi/648000)$ rad
litre	l	$10^{-3} m^3$
ton	t	$10^3 kg$

Çizelge 5 - Çevrimler

Boynuklu lik	Simetesi	SI Birimi adi	SI Birimi simgesi	Diger birim adi	Diger birim simgesi	SI biriminin eide etmek için diğer birimin çarpması katsayı
uzunluk	l	metre	m	angstrom, ayak (foot) inç mikron mil deniz mili yarde	A ft in. μ mi ca.mi. yd	10^{-10} 3.048×10^{-1} 2.540×10^{-2} 10^{-6} 1.609×10^3 1.852×10^3 9.144×10^{-1}
alan	A	metrekare	m ²	acre ar dilem foot kare hektar inç kare mil kare yarda kare	- a -	4.047×10^3 10^4 9.210×10^3 9.29×10^2 10^4 6.452×10^{-4} 2.390×10^6 8.361×10^{-1}
hacim	V	metreküp	m ³	ons (avr) foot küp galon inç küp liter pint quart yarda küp galon (Eng.)	fl.oz. ft ³ gal in ³ l - - yd ³ gal (UK)	2.957×10^{-5} 2.832×10^{-2} 3.785×10^{-3} 1.639×10^{-5} 10^{-3} 4.737×10^{-4} 9.464×10^{-4} 7.646×10^{-1} 4.546×10^{-3}
kenit momenti	T _a	metre ²	m ²	foot ² in ²		8.631×10^{-3} 4.162×10^{-7}
zaman period	t T	seniye		dakika saat gün ay yıl	min h d -	60 3.6×10^3 8.64×10^4 2.628×10^6 3.154×10^7

Genel Bilgiler

43

frekans	f, v	hertz	Hz (1/s)	1/dakika	1/min	1.667×10^{-2}
				1/saat	1/h	2.778×10^{-4}
				1/gün	1/d	1.157×10^{-5}
				1/yıl	-	3.105×10^{-7}
				1/yıl	1/a	3.171×10^{-8}
açıklar hız	°	saniyede radyan	rad/s	dakikada	rad/min	1.667×10^{-2}
				radyaan		
				saatte	rad/h	2.778×10^{-4}
				radyan		
				günde	rad/d	1.157×10^{-5}
				radyan		
				yilda	rad/a	3.169×10^{-8}
				radyan		
				saniyede	%/s	1.745×10^{-2}
				derece	%/h	2.909×10^{-4}
				saatte	%/d	4.848×10^{-6}
				derece		
				günde	%/d	2.020×10^{-7}
				derece		
				yilda derece	%/a	6.283
				saniyede	rev/h (Hz)	
				drevir		
				dakikada	rev/min	1.047×10^{-1}
				drevir		
hız	u, v, c	saniyede metre	m/s	saatte foot	ft/h	3.467×10^{-5}
				dakikada foot	ft/min	5.080×10^{-3}
				saniyede foot	ft/s	3.048×10^{-4}
				saatte işç	in/h	7.056×10^{-6}
				dakikada işç	in/min	4.233×10^{-4}
				saatte kilometre	km/h	2.778×10^{-3}
				saatte mil	mi/h	4.470×10^{-4}
				dakikada mil	mi/min	26.122

hacim debisi	qv	sanıyede metre küp	m^3/s	saniyede ft^3 dakikada ft^3 saatte ft^3 günde ft^3 sanıyede galon saniyede in³ sanıyede litre dakikada litre saatte litre günde litre	ft^3/s ft^3/min ft^3/h ft^3/d gal/s in^3/s l/s l/min l/h l/d	2.832×10^{-2} 4.719×10^{-4} 7.866×10^{-6} 3.277×10^{-7} 3.735×10^{-3} 1.639×10^{-5} 1.000×10^{-3} 1.667×10^{-4} 2.778×10^{-7} 1.157×10^{-8}
ivme		metre bölü saniye kare	m/s^2	foot bölü saniye kare inç bölü saniye kare saatte km bölük saniye saatte mil bölük saniye	ft/s^2 in/s^2 km/h.s mi/h.s	3.048×10^{-1} 2.54×10^{-2} 2.77×10^{-1} 4.470×10^{-1}
Açıklar ivmesi	α	radyan bölü saniye kare	rad/s^2	derece bölü saniye kare devir bölü saniye kare dakikada derece bölü saniye dakikada	$^{\circ}\text{A}^2$ rev/s^2 $^{\circ}\text{min}^{-2}$ rev/min.s	1.745×10^{-1} 6.283 2.909×10^{-4}
S	1.047×10^{-1}			devir bölü saniye		

Genel Bilgiler

45

kütle	m	kilogram	kg	mts libre slug ton	Oz. lb _m - t	2.834×10^{-3} 4.436×10^{-1} 1.459×10^1 1000
yaygınlık	P	kilogram bölüm metre küp	kg/m ³	kilogram bölüm litre gram bölüm santimetreküp on beş inç küp libre bölüm foot küp libre bölüm inç küp ton bölüm metre küp	kg/l g/cm ³ oz/in ³ lb _m /ft ³ lb _m /in ³ t/m ³	1000 1000 1.730×10^3 1.602×10^1 2.768×10^4 1000
örgütlü hacim	v	metre küp bölüm kilogram	m ³ /kg	1(yaygınlık birimleri) ve 1(yaygınlık katasyonları) kullanılır.		
momentan	p	kilogram metre bölüm saniye	kg.m/s			
çalışma momentum	L	kilogram metre kare bölüm saniye	kg.m ² /s			
çevirimsizlik momenteli	I, J	kilogram metre kare	kg.m ²			
kovvet ağırlık	F, P G, W	newton	N	din kilogram kuvvet libre kuvvet ton	dyn kgf lbf ton	1.000×10^{-3} 9.807 4.448 9806.65

büyütme	P	pascal	Pa	atmosfer bar din/cm ²	sta. bar dyn/cm ²	1.013×10^3 100000 0.1	
normal gerilme kayna genişlencesi	σ			inq. su abituru inq. civâ abituru metre su abituru kilogram kuvet hâli metre kare kilogram kuvet hâli sanitmetre kare ton	inH2O inHg mH2O kg/cm ² kg/cm ² kg/cm ²	249.082 3386.38 9806.36 9.807 9.807 9.807×10^4 133.322	
normal gerilim kayna gerilimi hacim gerilimi Poisson Oranı	E Y G μ, v						
Elastik Modülü Hacim Modülü Kıyma Modülü	E K G	pascal	Pa	bütün çevrimi tâbiiyeten kullanılır.			
Viskozite	η	pascal saniye	Pas	poise sanitpoise	g/cm.s kg/s/m ² P cP	0.1 9.807 0.1 0.001	
Kinematik viskozite	v	metrekere hâli saniye	m ² /s	stokes	St	1.000×10^{-4}	
enerji iyi Potansiyel enerji	E W Ep, V, ϕ	Joule	J	Injizit. İst. Bîrîm Katori	Btu cal erg	1.056×10^3 4.19 1.0×10^{-7}	
kinetik enerji	Ek, K			Erg	erg		
isi	Q			kilogram kuvet metre	kgf.m	9.807	

Genel Bilgiler

47

g°C	P	watt	V _g	Beyigir gidiş (Metrik)	Btu/h Btu/min Btu/k cal/h cal/min cal/s erg/s PS	0.293 17.584 1093.056 1.163/10 ⁻³ 6.976/10 ⁻² 4.187 1.0x10 ⁻⁷ 735.5
Celsius Sıcaklığı	1.0	derece Celsius	°C	derece Fahrenheit	*F	t=59 (t _f -2)

ÇEŞİTLİ MALZEMELERİN ÖZGÜL AĞIRLIKLARI VE ISI İLETKENLİKLERİ

Malzeme	Özgül Ağırlık (kg/m ³)	İsıl İletkenlik (W/m.°C)
Genleştiştirilmiş polistireن	16-24	0.033 - 0.035
Poliüretan	24-40	0.024 - 0.039
Cam yünü şile	16-48	0.032 - 0.040
Gazbeton	320-700	0.084 - 0.18
Tuğla	2300	0.6
Fayans	2500	
Cam	2500	0.75
Tuğla duvar	1700	0.73 - 1.45
Mastik asfalt	2100	0.60
Kumtaşı	2500	1.29
Kireçtaşlı	2300	1.53
Beton	2300	1.44
Celik	7850	57
Alüminyum	2700	214

ULUSLARARASI KAĞIT ÖLÇÜLERİ (Ölçüler mm)

Norm	En	Boy	Norm	En	Boy	Norm	En	Boy
B0	1000	1414	4A0	1682	2378	C0	917	1297
B1	707	1000	2A0	1189	1682	C1	648	917
B2	500	707	A0	841	1189	C2	458	648
B3	353	500	A1	594	841	C3	324	458
B4	250	353	A2	420	594	C4	229	324
B5	176	250	A3	297	420	C5	162	229
B6	125	176	A4	210	297	C6	114	162
B7	88	125	A5	148	210	C7	81	114
B8	62	88	A6	105	148	C8	57	81
B9	44	62	A7	74	105			
B10	31	44	A8	52	74			
			A9	37	52			
			A10	26	37			

Çevrim Tablosu Milimetre-Inch karşılıkları

mm	in	mm	in	mm	in
1	0,039 371	35	1,377 985	69	2,716 599
2	0,07874	36	1,417 356	70	2,755 97
3	0,11811	37	1,456 727	71	2,795 341
4	0,157 484	38	1,496 098	72	2,834 712
5	0,196 855	39	1,535 469	73	2,874 083
6	0,236 226	40	1,574 84	74	2,913 454
7	0,275 597	41	1,614 211	75	2,952 825
8	0,314 968	42	1,653 582	76	2,992 196
9	0,354 339	43	1,692 953	77	3,031 567
10	0,393 71	44	1,732 324	78	3,070 938
11	0,433 081	45	1,771 695	79	3,110 309
12	0,472 452	46	1,811 066	80	3,149 68
13	0,511 823	47	1,850 437	81	3,189 051
14	0,551 194	48	1,889 808	82	3,228 422
15	0,590 565	49	1,929 179	83	3,267 793
16	0,629 936	50	1,968 55	84	3,307 164
17	0,669 307	51	2,007 921	85	3,346 535
18	0,708 678	52	2,047 292	86	3,385 906
19	0,748 049	53	2,086 663	87	3,425 277
20	0,787 42	54	2,126 034	88	3,464 648
21	0,826 791	55	2,163 405	89	3,504 019
22	0,866 162	56	2,204 776	90	3,543 39
23	0,905 533	57	2,244 147	91	3,582 761
24	0,944 904	58	2,283 518	92	3,622 132
25	0,984 275	59	2,322 889	93	3,661 503
26	1,023 646	60	2,362 26	94	3,700 874
27	1,063 017	61	2,401 631	95	3,740 245
28	1,102 388	62	2,441 002	96	3,779 616
29	1,141 759	63	2,480 373	97	3,818 987
30	1,181 13	64	2,519 744	98	3,858 358
31	1,220 501	65	2,559 115	99	3,897 729
32	1,259 872	66	2,598 486	100	3,937 1
33	1,299 243	67	2,637 857		
34	1,338 614	68	2,677 228		

YUNAN ALFABESİ

Alpha	Α	α	Nu	Ν	ν
Beta	Β	β	Xi	Ξ	ξ
Gamma	Γ	γ	Omicron	Ο	ο
Delta	Δ	δ	Pi	Π	π
Epsilon	Ε	ε	Rho	Ρ	ρ
Zeta	Ζ	ζ	Sigma	Σ	σ
Eta	Η	η	Tau	Τ	τ
Theta	Θ	θ	Upsilon	Υ	υ
Iota	Ι	ι	Phi	Φ	φ, ϕ
Kappa	Κ	κ	Chi	Χ	χ
Lambda	Λ	λ	Psi	Ψ	ψ
Mu	Μ	μ	Omega	Ω	ω

DÜZLEMSEL GEOMETRİK ŞEKİLLERİN ÖZELLİKLERİ

Geometrik Şekil	Aşın-geometrik merkez	Eylemsizlik momenleri	Dayanım momenti
Dik Üçgen 	$A = \frac{bh}{2}$ $X_c = \frac{b}{3}$ $Y_c = \frac{h}{3}$	$I_{xc} = bh^3/36$ $I_{yc} = hb^3/36$ $I_x = bh^3/12$ $I_y = hb^3/12$	$W_{xc} = \frac{bh^3}{24}$ $W_{yc} = \frac{hb^3}{24}$
Üçgen 	$A = \frac{bh}{2}$ $X_c = \frac{a+b}{3}$ $Y_c = \frac{h}{3}$	$I_{xc} = hb^3/36$ $I_{yc} = \frac{bh(b^2 + ab + a^2)}{36}$ $I_x = bh^3/12$ $I_y = \frac{bh(b^2 + ab + a^2)}{12}$	$W_{xc} = \frac{bh^3}{24}$
Kare 	$A = a^2$ $X_c = \frac{a}{2}$ $Y_c = \frac{a}{2}$	$I_x = I_{yc} = h^3/12$ $I_x = I_y = h^3/3$ $I_t = h^3/12$	$W_{xc} \cdot W_{yc} = \frac{h^3}{6}$
Rüklüörtgen 	$A = bh$ $X_c = \frac{b}{2}$ $Y_c = \frac{h}{2}$	$I_{xc} = bh^3/12$ $I_{yc} = hb^3/12$ $I_x = bh^3/3$ $I_y = hb^3/3$ $I_t = \frac{bh}{6(a^2 + b^2)}$	$W_{xc} = \frac{bh^2}{6}$ $W_{yc} = \frac{hb^2}{6}$
Başılıklu dörtgen 	$A = bh \cdot b \cdot h$ $X_c = \frac{b}{2}$ $Y_c = \frac{h}{2}$	$I_{xc} = \frac{(bh^3 \cdot b \cdot h)^2}{12}$ $I_{yc} = \frac{(hb^3 \cdot h \cdot b)^2}{12}$	$W_{xc} = \frac{1}{6} \left(\frac{bh^3 \cdot b \cdot h^3}{h} \right)$ $W_{yc} = \frac{1}{6} \left(\frac{hb^3 \cdot h \cdot b^3}{b} \right)$

Genel Bilgiler

51

Geometrik Şekil	Alan-geometrik merkez	Eylemsizlik momenti	Dayanım momenti
Eşit Dikdörtgenler	$A = b(h-h_c)$ $X_c = \frac{b}{2}$ $Y_c = \frac{h}{2}$	$I_{xc} = \frac{(bh^2-h_c^2)}{12}$ $I_{yc} = \frac{b^2(h-h_c)}{12}$	$W_{xc} = \frac{(h-h_c)^3}{6h}$ $W_{yc} = \frac{b^2(h-h_c)}{6b}$
Trapez	$X_c = \frac{h}{2}(a+b)$ $Y_c = \frac{h(2a+b)}{3(a+b)}$	$I_{xc} = \frac{h^2(a^2+4ab+b^2)}{36(a+b)}$ $I_y = \frac{h^2(3a+b)}{12}$	$W_{xc} = \frac{I_{xc}}{h-y_c}$
Daire	$A = \pi r^2$ $X_c = r$ $Y_c = r$	$I_{xc} = I_{yc} = \frac{\pi r^4}{4}$ $I_x = I_y = \frac{5\pi r^4}{4}$	$W_{xc} = W_{yc} = \frac{K^3}{4}$
Böşlüklu Daire	$A = \frac{\pi(d^2-d_1^2)}{4}$ $X_c = \frac{d}{2}$ $Y_c = \frac{d}{2}$	$I_{xc} = I_{yc} = \frac{\pi(d^4-d_1^4)}{64}$	$W_{xc} = W_{yc} = \frac{\pi(d^4-d_1^4)}{32d}$
Yarım Daire	$A = \frac{\pi r^2}{2}$ $X_c = r$ $Y_c = \frac{4r}{3\pi}$	$I_{xc} = \frac{r^2(9\pi^2-64)}{72\pi}$ $I_{yc} = \frac{\pi r^4}{8}$ $I_x = \frac{\pi r^4}{8}$ $I_y = \frac{5\pi r^4}{8}$	$W_{xc} = \frac{I_{xc}}{(r-y_c)}$ $W_{yc} = \frac{K^3}{8}$

Geometrik Şekil	Alan-geometrik merkez	Eylemsizlik momenti	Dayanım momenti
Parabol 	$A = \frac{4}{3} ab$ $X_C = b$ $Y_C = \frac{2}{5} a$	$I_{xc} = \frac{16}{175} a^2 b$ $I_{yc} = \frac{4}{15} ab^3$ $I_x = \frac{32}{105} a^3 b$	$W_{xc} = \frac{16}{105} a^2 b$ $W_{yc} = \frac{4}{15} ab^2$
Yarım Parabol 	$A = \frac{2}{3} ab$ $X_C = \frac{5}{8} b$ $Y_C = \frac{2}{5} a$	$I_{xc} = \frac{8}{175} a^2 b$ $I_{yc} = \frac{19}{480} ab^3$ $I_y = \frac{16}{105} a^3 b$ $= \frac{2}{15} ab^3$	$W_{xc} = \frac{8}{105} a^2 b$ $W_{yc} = \frac{19}{300} ab^2$
Yarım Parabol Örtülü dikdörtgen 	$A = \frac{1}{3} ab$ $X_C = \frac{1}{4} b$ $Y_C = \frac{7}{10} a$	$I_{xc} = \frac{37}{2100} a^2 b$ $I_{yc} = \frac{1}{80} ab^3$	$W_{xc} = \frac{37}{1470} a^2 b$ $W_{yc} = \frac{1}{60} ab^2$
Sekizgen 	$A = 0,6284 d^2$ $X_C = Y_C = \frac{d}{2}$	$I_{xc} = I_{yc} = 0,055 d^4$	$W_{xc} = W_{yc} = 0,110 d^3$
Altıgen 	$A = 0,886 d^2$ $X_C = Y_C = \frac{d}{2}$	$I_{xc} = I_{yc} = 0,08 d^4$	$W_{xc} = W_{yc} = 0,120 d^3$
<p>A = geometrik şekil alanı</p> <p>X_C, Y_C = alan geometrik merkezinin x ve y koordinatları</p> <p>I_{xc}, I_{yc} = alanın geometrik merkezden geçen ve x, y koordinat eksenlerine平行 olan eksenler etrafındaki eylemsizlik momentleri.</p> <p>I_x, I_y = alanın x,y koordinat eksenleri etrafındaki eylemsizlik momentleri</p> <p>W_{xc}, W_{yc} = alanın geometrik merkezden geçen ve x,y koordinat eksenlerine平行 olan eksenler etrafındaki dayanım momentleri</p>			

MUKAVEMET (KESME)

Kesme

Kayma gerilmesi

p 30 $f_g = \frac{F}{A} \leq p_g$ [psi]

Kayma modülü

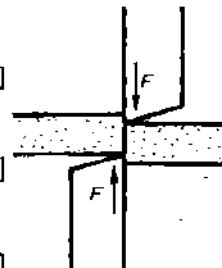
p 31 $G_c = \frac{T}{\gamma} = 0.385 E$ [psi]

Kayma katsayıısı

p 32 $\beta = \frac{1}{G_c} = \frac{\gamma}{T}$ [in²/lb]

Kayma birim uzaması

p 33 $\gamma = \beta T$ [-]



Maksimum kayma gerilmesi

p 34 $T_f = \frac{F_{max}}{A} = 0.8 \sigma_g$ [psi]

Kesme Kuvveti

giyotin kesmesi

p 35 $F_g = L s k T_f$ [lb] $F_g = U s k T_f$ [lb]

Kayma gerilmesinin pratik uygulaması

Kayma daima eğilimce olusur. Gerilme formülün de kesite bağlı tayin edici bir katsayıısı vardır. (Sadece çok kısa kirişlerde, eğilme momeni ihmal edilebilir).

Kesit alanı A



birim

p 36 kayma gerilmesi $T = \frac{3}{2} \frac{F}{A}$ $\frac{4}{3} \frac{F}{A}$ $2 \frac{F}{A}$ [psi]

p_g : emniyetli kayma gerilmesi

F : kesme kuvveti A : kesit alanı

L : kesme boyu

U : kesme genişliği

F_{max} : kırılma yükü

s : malzeme kalınlığı

k : sırtınme katsayıısı

(=1.7)

MUKAVEMET (BURULMA)

Burulmadan doğan kayma gerilmesiBurulma gerilmesi

$$p \ 37 \quad f_t = \frac{M_t}{J} \leq p_{eq} \quad [\text{kg/cm}^2]$$

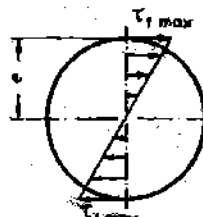
Burulma momenti

$$p \ 38 \quad M_t = 726.2 \cdot 10^3 \frac{P}{n} \quad [\text{kg} \cdot \text{cm}]$$

Burulma mukavemet momenti

$$p \ 39 \quad M_t = \frac{J}{e} \quad [\text{cm}^3]$$

e : dış yüzey ile S ağırlık merkezi arasındaki mesafe [cm]

Polar atalet momenti, burulma momenti, ve maksimum kayma gerilmesi

	polar atalet momenti J [in^4]	mukavemet momenti M_t [in^3]	max. kayma gerilmesi f_t [psi]	kESİT ALANI A [in^2]
p 40	$\frac{\pi d^4}{32}$	$\frac{\pi d^3}{16}$	$\approx \frac{5.1 M_t}{d^4}$	
p 41	$\frac{\pi}{32} (D^4 - d^4)$	$\frac{\pi}{16} \frac{D^4 - d^4}{D}$	$\approx \frac{5.1 M_t}{D^3} \frac{1}{1 - \frac{d^4}{D^4}}$	
p 42	$4n_1; \frac{2}{9} b h^2$	$4n_1; \frac{9 M_t}{2 b h^2}$		2 n_1 S 3 b h
p 43		$4n_2; 0$		
p 44	$4n_3; \frac{2}{9} b^3 h$	$4n_3; \frac{9 M_t}{2 b^2 h}$		

 δ - tablosu

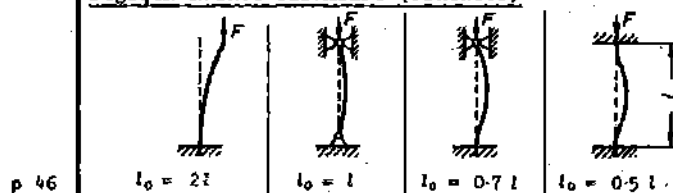
$\delta = \frac{d}{D}$	0.5	0.6	0.7	0.8	0.9	0.95
$\frac{1}{1 - \delta^4}$	1.0667	1.1489	1.3159	1.6194	2.6194	5.3908

P : güç [HP] n : dakikada devir sayısı
 p_{eq} : emniyetli burulma gerilmesi [kg/cm²] (bak Z 14)

MUKAVEMET (BURULMA)

Burulma

Degisik mesnet durumları (örnekler)



p 47 Narinlik $\lambda = l_0 \sqrt{\frac{A}{I}}$

Aşağıda verilen tablo yardımıyla, λ değerine göre :

λ limitler altında ise basınç formülünü (p 3) kullanınız
arasında ise Tetmajer formülünü kullanınız
Üstünde ise Euler formülünü kullanınız
Burada A alanı bilinmemektedir. Doğrusu atalet momentinden bulunabilir :

p 48 $I = \frac{FS_f l_0^2}{n E}$ [in.⁴]

Tetmajer formülü

p 49 $\sigma_k = n(1 - c_1 \lambda + c_2 \lambda^2) \leq S_f \frac{F}{A} = S_f p_c$ [psi]

malzeme	n	c ₁	c ₂	λ - limiti
yumuşak çelik	48 000	0.00185	0	0... 90
pik demir	110 000	0.01546	0.00007	5... 80
kereste	4 200	0.00662	0	2... 100

Euler formülü

p 50 $F_{kperm} = \frac{\pi^2 EI}{l_0^2} \leq S_f F$ [lb]

p_c : emniyetli basınç gerilmesi (bak Z 14)

F_{kperm} : emniyetli flambaj yükü

σ_k : gerçek flambaj gerilmesi F : gerçek yük [lb]

I : atalet momenti

A : kesit alanı [in.²]

S_f : emniyet katsayıısı

MUKAVEMET (BİLEŞİK GERİLMELER)

Normal gerilmelerin bileşkesi

Süperpozisyon yöntemine göre, çekme ve eğilme ve ya basınç ve eğilmeden ötürü meydana gelen gerilmeler, çekme için pozitif ve basınç için negatif işaret kullanılarak cebrik olarak toplanır.

YÜK noktası	bileşke gerilme		
	çekme + eğilme	basınç + eğilme	
p 51	$A_1 \left(+ \frac{T}{A} + \frac{Vle_1}{J} \right) \leq p_t$	$- \frac{C}{A} + \frac{Vle_1}{J} \leq p_c$	
p 52	$A_2 \left(+ \frac{T}{A} + \frac{Vle_2}{J} \right) \leq p_t$	$- \frac{C}{A} - \frac{Vle_2}{J} \leq p_c$	
p 53	$T = F \cos \alpha$	$y = F \sin \alpha$	$C = F \cos \alpha$

Tarafsız eksenin kaydırarak yani kesitin şeklini değiştirerek, A_1 ve A_2 noktalarında eşit çekme ve basınç gerilmeleri elde edilebilir (örneğin: $e_1 \neq e_2$). Uzun kırışları flambaj işaretini için tahlük ediniz.

Benzer gerilmelere ait limit kesitler

Şekilde görülen noktalı küçük alanlara herhangi bir basınç veya çekme kuvveti tatbik edildiğinde aynı tip gerilme bütün kesitte vukubulacaktır. Sayet bu limit alanların dışına tatbik edilirse, eğilme gerilmesi yani hem çekme hem basınç gerilmesi basıl olacaktır.

$x = \frac{a}{6}$	$u = \frac{b}{6}; v = \frac{h}{6}$	$r = \frac{d}{8}$	$r = \frac{D}{8} \left[1 + \left(\frac{d^2}{D} \right) \right]$

MUKAVEMET (BİLEŞİK GERİLMELER)

Teğetsel gerilmelerin bileşkesi

Süperpozisyon yöntemine göre, kayma ve burulma gerilmeleri ebatlı olarak toplanmalıdır.

		Kesit
p 55	$\frac{5 \cdot 1 M_t}{d^3} + \frac{1 \cdot 7 S_y}{d^2} \leq p_{qt}$	
p 56	$\frac{5 \cdot 1 M_t D}{D^4 - d^4} + \frac{2 \cdot 55 S_y}{D^2 - d^2} \leq p_{qt}$	
p 57	$\frac{4 \cdot 5 M_t}{d^2 h} + \frac{1 \cdot 5 S_y}{bh} \leq p_{qt}$	

Semboller (P 11 için dahil)

- p_{hi} : emniyetli eğilme gerilmesi
- p_{qi} : emniyetli burulma gerilmesi
- f_t : gerçek eğilme gerilmesi
- f_q : gerçek burulma gerilmesi
- M_g : gerçek eğilme momenti (bak P3 ve P4)
- M_i : ideal eğilme momenti ($M_i = f \cdot M_g$)
- M_d : dönme momenti (bak 7.7)
- S_y : koşucu kuvveti

MUKAVEMET (BİLESİK GERİLMELER)

Normal ve teğetsel gerilmelerin bileskesi

Bach'a göre, normal ve teğetsel gerilmelerin sırasıyla bulunduğu yerde σ_r gerilmesi olasıdır.

Genel

$$\text{p 50} \quad \sigma_r = 0.35 f_u + 0.65 \sqrt{f_{bl}^2 + (\alpha_0 2 f_{ql})^2} \leq p_{bl} \quad [\text{kg/cm}^2]$$

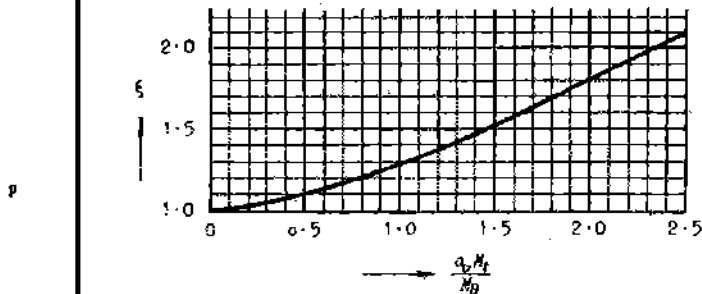
$$\text{p 59} \quad \text{burada} \quad \alpha_0 = \frac{p_{bl}}{1.3 p_{ql}} \quad [-]$$

Şaft donanımı için aşağıdaki denklem kullanılır.

$$\text{p 60} \quad \sigma_r = \frac{\xi M_t}{S} \leq p_{bl} \quad [\text{kg/cm}^2]$$

$$\text{p 61} \quad \text{burada} \quad \xi = 0.35 + 0.65 \sqrt{1 + \left(\frac{\alpha_0 M_t}{M_B} \right)^2}$$

Yukarıdaki denklemleri kolayca çizebilmek için aşağıda verilen diyagram kullanılabılır :



Alanın bulunması isteniyorsa, mukavemet momentinden şu şekilde hesaplanır.

$$\text{p 62} \quad S = \frac{M_t}{p_{bl}} = \frac{\xi M_B}{p_{bl}} \quad [\text{cm}^2]$$

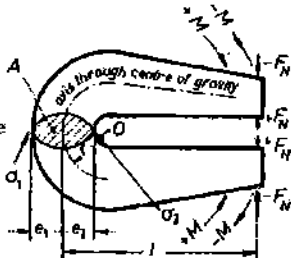
S : mukavemet momenti

Diger terimler için, bak P 10

MUKAVEMET (EĞRİ KİRİŞLER)

Eğri kirişlerde gerilmeler

Eğri kirişlerde en büyük gerilme, normal F kuvveti ve M eğilme momenti tarafından yarattılır. Uçtaki gerilmeler şu şekildedir (tatbik yönüne bağlı olarak M ve F ya pozitif yada negatiftir) :



$$p \ 63 \quad \sigma_1 = \frac{F_N}{A} + \frac{M}{Ar} + \frac{M}{Ar} \frac{e_1}{r + e_1} \leq p_i \quad \text{kg/cm}^2$$

$$p \ 64 \quad \sigma_2 = \frac{F_N}{A} + \frac{M}{Ar} - \frac{M}{Ar} \frac{e_2}{r - e_2} \leq p_i \quad [\text{kg/cm}^2]$$

x için formül

$$p \ 65 \quad x = \frac{1}{3} \left(\frac{e}{r} \right)^2 + \frac{1}{5} \left(\frac{e}{r} \right)^4 + \frac{1}{7} \left(\frac{e}{r} \right)^6 + \dots$$

$$p \ 66 \quad x = \frac{1}{4} \left(\frac{e}{r} \right)^2 + \frac{1}{6} \left(\frac{e}{r} \right)^4 + \frac{5}{64} \left(\frac{e}{r} \right)^6 + \dots$$

$$p \ 67 \quad x = \frac{2xr}{(a+b)h} \left\{ \left[b + \frac{a-b}{h} (r+e_1) \right] \ln \frac{r+e_1}{r-e_2} - (a-b) \right\} - 1$$

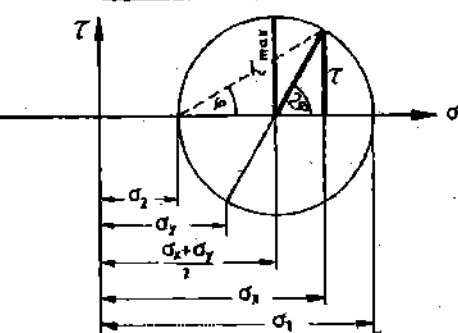
S ağırlık merkezinin yeri için, bak K 5

Hesaplanan x değerleri

	$\frac{e}{r}$	0.1	0.3	0.5	0.7	0.8	0.9	0.95
p 68	\times	0.0033	0.0317	0.0986	0.239	0.373	0.636	0.928
p 69	\otimes	0.0025	0.0236	0.0718	0.167	0.250	0.393	0.524
p 70	$M = F_N l$							

p_i : emniyetli çekme, bak Z 14

MUKAVEMET (MOHR GERİLME DAİRESİ)

Mohr gerilme dairesiAsal çekme gerilmeleri

p 71 $\sigma_1, \sigma_2 = \frac{\sigma_x + \sigma_y}{2} \pm \sqrt{\left(\frac{\sigma_x - \sigma_y}{2}\right)^2 + \tau^2}$

Asal kayma gerilmeleri

p 72 $\tau_{max} = \pm \sqrt{\left(\frac{\sigma_x - \sigma_y}{2}\right)^2 + \tau^2}$

Büyük çekme gerilmesi σ_1 'in yönü

p 73 $\tan 2\phi = \frac{2\tau}{\sigma_x - \sigma_y} +)$

daima $2\phi < 90^\circ$ olmalıdır.

Büyük kayma gerilmesi τ 'nun yönü

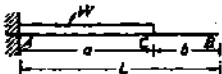
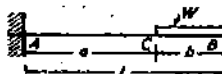
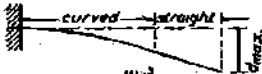
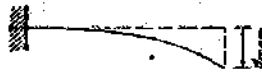
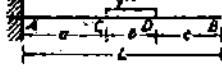
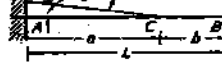
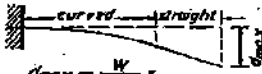
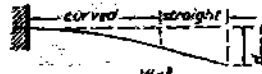
p 74 $\cot 2\phi = \frac{2\tau}{\sigma_x - \sigma_y}$

Asal çekme gerilmelerinin kesişme noktalarında kayma gerilmeleri sıfır olur.

Maksimum kayma gerilmesi, asal çekme gerilmelerinin olduğu düzleme 45° eğik düzlemede meydana gelir.

* Bu denklemin çözümü iki açı verecektir. Bunun anlamı, asal kayma ve çekme gerilmelerinin birbirlerine dik ve aynı noktalarda kesişen düzlemlerde meydana geldiğiidir.

KIRIŞLERE AİT YÜKLEME, MOMENT, KAYMA, SEHİM TABLOLARI

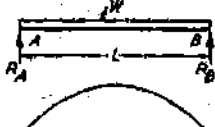
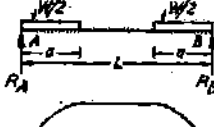
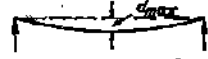
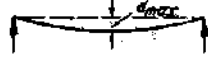
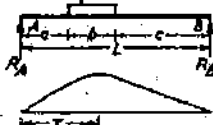
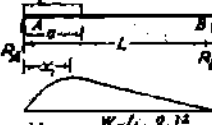
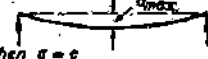
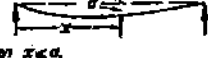
KONSOLLAR					
SEHİM	KAYNA	MOMENT	YÜKLEME	SEHİM	KAYNA
					
		$M_x = \frac{Wx^2}{2a}$ $M_{max} = \frac{Wa}{2}$	$M_{max} = W(a + \frac{b}{2})$		
		$R_A = W$	$R_A = W$		
					
		$d_{C} = \frac{Wa^3}{8EI}$ $d_{max} = \frac{Wa^2}{8EI}(1 + \frac{ab}{a})$	$d_{max} = \frac{W(8a^3 + 18a^2b + 12ab^2 + b^3)}{24EI}$		
					
		$M_{max} = W\left(a + \frac{b}{2}\right)$	$M_x = \frac{Wx^3}{3a}$ $M_A = \frac{Wa}{3}$		
		$R_A = W$	$R_A = W$		
					
		$d_{max} = \frac{W}{24EI} \times (8a^3 + 18a^2b + 12ab^2 + b^3)$	$d_{C} = \frac{Wa^3}{15EI}$ $d_{max} = \frac{Wa^2}{15EI} \left(1 + \frac{5b}{a}\right)$		

KONSOLLAR

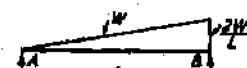
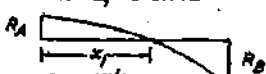
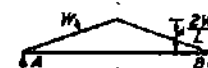
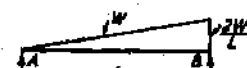
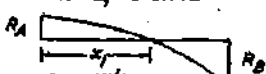
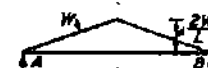
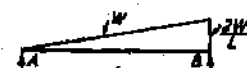
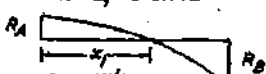
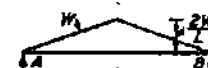
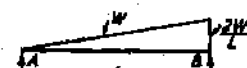
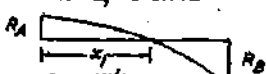
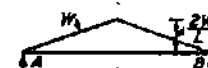
SEHİM	KAYNAK	MOMENT	YÜKLEME	SEHİM	KAYNAK	MOMENT	YÜKLEME
		$M_x = \frac{W}{3} (x^2 - \frac{L}{2}x + \frac{L}{2})$	$M_{max} = W(a + \frac{Lb}{3})$			$M_x = \frac{W}{3} (x^2 - \frac{L}{2}x + \frac{L}{2})$	$M_{max} = W(a + \frac{Lb}{3})$
		$R_A = W$	$R_B = W$			$R_A = W$	$R_B = W$
		$d_C = \frac{HW^3}{8EI}$	$d_{max} = \frac{(14a^3 + 15ab^2)}{8EI} (1 + \frac{15a}{11b})$			$M_{max} = \frac{W(20a^3 + 50a^2b + 40ab^2 + 11b^3)}{8EI}$	d_{max}
		$R_A = P$	$R_B = P$			$M_{max} = M_x = M_C$	d_{max}
		$M_x = P x$	$M_{max} = P a$			$M_{max} = M_x = M_C$	d_{max}
		$R_A = P$	$R_B = P$			$M_{max} = M_x = M_C$	d_{max}
		$d_C = \frac{P a^3}{3EI}$	$d_{max} = \frac{P a^3}{3EI} (1 + \frac{3b}{2a})$			$d_C = \frac{M a^3}{2EI}$	$d_{max} = \frac{M a^3}{2EI} (1 + \frac{3b}{a})$
		$R_A = P$	$R_B = P$			$M_{max} = M_x = M_C$	d_{max}

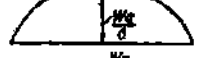
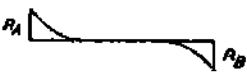
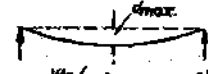
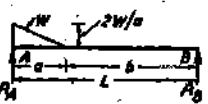
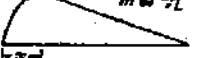
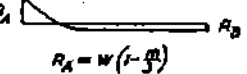
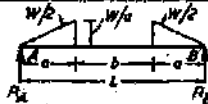
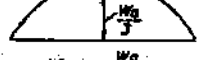
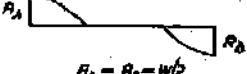
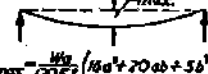
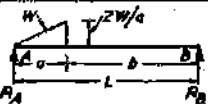
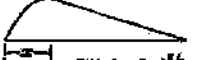
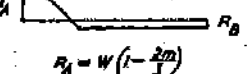
N.B. For anti-clockwise moments
the deflection is upwards.

BASIT MESNETLİ KİRİŞLER

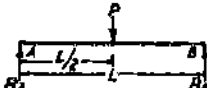
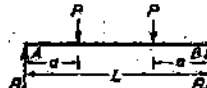
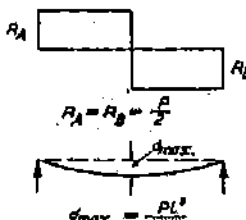
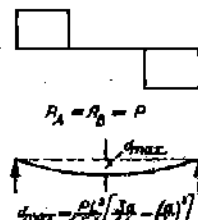
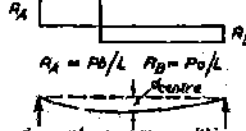
SEHİM	KAYMA	MOMENT	YÜKLEME	KAVMA	MOMENT	YÜKLEME
						
			$M_x = \frac{Wx}{2} (1 - \frac{x^2}{L^2})$		$M_{max} = \frac{Wa}{4}$	
			$M_{max} = \frac{Wa}{B}$			
			$R_A = R_B = \frac{W}{2}$		$R_A = R_B = \frac{W}{2}$	
						
			$d_{max} = \frac{3}{364} \cdot \frac{WL^3}{EI}$		$d_{max} = \frac{Wa(3L^2 - 2a^2)}{96EI}$	
						
			$M_{max} = \frac{W}{8} (\frac{x_1^2 - a^2}{2L})$		$M_{max} = \frac{Wa}{2} (\frac{a}{2L})^2$	
			when $x_1 = a/\sqrt{2}$		when $x_1 = a/(1-2L)$	
			$R_A = W/(b+c)$		$R_A = W/(1-2L)$	
			$R_B = W/(b+a)$		$R_B = \frac{Wa}{2L}$	
						
			When $a=c$		$d_{max} = \frac{WC}{24EI} [a(2\pi^2 - n^2)ab^2 + b^3]$	
					When $x_1 > a$	
					$d_{max} = \frac{WC}{24EI} [a^2(6m^2 + m^2 + n^2) - n^2]$	
					where $m = x_1/b$ and $n = a/L$	

BASIT MESNETLİ KIRIŞLER

SEHİM	KAVMA	MOMENT	VÜKLEME
 $M_x = \frac{Wx}{J} \left(l - \frac{x^2}{L^2} \right)$ $M_{max} = 0.128WL$, when $x_1 = 0.5774L$  $R_A = W/J$ $R_B = 2W/J$  $M_x = Wx \left(\frac{l}{2} - \frac{x^2}{2L^2} \right)$ $M_{max} = WL/6$			
 $M_x = \frac{Wx}{J} \left(l - \frac{x^2}{L^2} \right)$ $M_{max} = 0.128WL$, when $x_1 = 0.5774L$  $R_A = W/J$ $R_B = 2W/J$  $M_x = Wx \left(\frac{l}{2} - \frac{x^2}{2L^2} \right)$ $M_{max} = WL/6$			
 $M_{max} = \frac{W(l-f)}{4}$  $R_A = R_B = W/2$  $M_x = Wx \left(\frac{l}{2} - \frac{x^2}{L^2} + \frac{2x^3}{3L^3} \right)$ $M_{max} = WL/12$			
 $M_{max} = \frac{W(l-f)}{4}$  $R_A = R_B = W/2$  $M_{max} = \frac{WL^2}{12EI}$			

DASIT MESNELI KIRISLER					
SEHİM	KAYMA	MOMENT	VÜKLEME	SEHİM	KAYMA
 $R_A = R_B = W/2$  $M_{fizik} = \frac{Wd}{6}$  $R_A = R_B = W/2$  $\delta_{max} = \frac{Wd}{240EI} (16a^3 + 20ab + 5b^3)$				 $m = \frac{W}{L}$  $M_{max} = \frac{Wd}{3} \left(-m + \frac{2m\sqrt{m}}{\sqrt{3}} \right)$ $\text{when } m = \alpha \left(1 - \frac{1}{\sqrt{3}} \right)$  $R_A = W \left(1 - \frac{m}{3} \right)$ $R_B = \frac{Wm}{3}$	
 $R_A = R_B = W/2$  $M_{fizik} = \frac{Wd}{3}$  $R_A = R_B = W/2$  $\delta_{max} = \frac{Wd}{240EI} (16a^3 + 20ab + 5b^3)$				 $m = \frac{W}{L}$  $M_{max} = \frac{2Wd}{3} \left(1 - \frac{2m}{3} \right)^{3/2}$ $\text{when } m = \alpha \sqrt{1 - \frac{2m}{3}}$  $R_A = W \left(1 - \frac{2m}{3} \right)$ $R_B = \frac{2Wm}{3}$	

BASIT MESNETLİ KIRIŞLER

SEHİM	KAVNA	MOMENT	VÜKLEME	
				 $M_{max} = \frac{Pa}{4}$
				 $M_{max} = Pa$
				 $R_A = R_B = \frac{P}{2}$ $d_{max} = \frac{PL^2}{48EI}$
				 $R_A = R_B = P$ $d_{max} = \frac{PL^2}{6EI} \left[\frac{1}{2L} - \left(\frac{a}{L} \right)^2 \right]$
				 $M_{max} = \frac{Pab}{l}$
				 $M_C = \frac{P_1(b+2a)}{l}$ $M_D = \frac{P_2(a+2b)}{l}$
				 $R_A = P_1 b / l$ $R_B = P_2 a / l$ $d_{max} \text{ always occurs within } 0.0744L \text{ of the centre of the beam. When } b \leq a,$ $d_{centre} = \frac{P_1^2 I_0}{48EI} \left[\frac{1}{l} - 4 \left(\frac{a}{l} \right)^2 \right]$ $\text{This value is always within } 2.5\% \text{ of the maximum value.}$
				<p>For central deflection add the values for each P derived from the formulae in the adjacent diagram.</p>

BASIT MESNETLİ KIRIŞLER

SEZİMLİ KAYALAK VÜKLEME	KAVMA MOMENT VÜKLEME	<p>$R_A = R_B = P$</p> <p>$M_{max} = \frac{PL}{3}$</p> <p>$d_{max} = \frac{23PL^3}{64EI}$</p>	<p>$R_A = R_B = \frac{5P}{12}$</p> <p>$M_C = M_E = \frac{PL}{4}$</p> <p>$M_D = \frac{5PL}{12}$</p> <p>$d_{max} = \frac{53PL^3}{1296EI}$</p>
		<p>$R_A = R_B = \frac{3P}{8}$</p> <p>$M_C = M_E = \frac{3PL}{8}$</p> <p>$M_D = \frac{PL}{2}$</p> <p>$d_{max} = \frac{19PL^3}{384EI}$</p>	<p>$R_A = R_B = 2P$</p> <p>$M_C = M_F = \frac{PL}{4}$</p> <p>$M_D = M_E = \frac{PL}{2}$</p> <p>$d_{max} = \frac{41PL^3}{768EI}$</p>

BASIT MESNETLİ KİRİŞLER

SPANN	KAVRMA	MOMENT	VİRGİNDE
		<p> $M_C = M_E = \frac{2PL}{S}$ $M_D = M_E = \frac{3PL}{S}$ $R_A = R_B = 2P$ $d_{max} = \frac{63PL^4}{1000EI}$ </p>	<p> When n is odd, $M_{max} = \frac{(n+1)PL}{8n}$ When n is even, $M_{max} = nPL/8$ $R_A = R_B = (n+1)P/2$ d_{max} </p>

TOTAL LOAD = W	
$\frac{W}{2n} + \frac{W}{n}$	$\frac{W}{n}$ SIMPLY SUPPORTED BEAM
$\frac{W}{2n} + L/n + L/n + L/n + L/n + L/n +$	$\frac{W}{2n}$
L	

When $n > 10$, consider the load uniformly distributed
 The reaction at the supports = $W/2$, but the maximum S.E.
 at the ends of the beam = $\frac{W(n-1)}{2n} = A.W$

The value of the maximum bending moment = $C.WL^2$

The value of the deflection at the centre of the span = $k \cdot \frac{WL^3}{EI}$

Value of n	A	C	k
2	0.2500	0.1250	0.0105
3	0.3333	0.1111	0.0118
4	0.3750	0.1250	0.0124
5	0.4000	0.1200	0.0126
6	0.4167	0.1230	0.0127
7	0.4286	0.1224	0.0128
8	0.4375	0.1250	0.0128
9	0.4444	0.1236	0.0129
10	0.4500	0.1250	0.0129

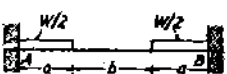
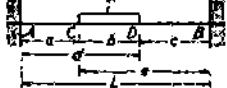
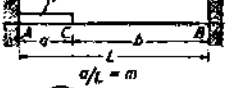
BASIT MESNETLİ KIRIŞLER

SEZİM	KAYNAK	MOMENT	YÜKLЕНЕ	
				<p>$M_{CA} = M \cdot a/L$ $M_{CB} = M \cdot b/L$</p> <p>R_A R_B</p> <p>$R_A = R_B = M/L$</p> <p>As shown $a > b$.</p> <p>$d_C = \frac{M \cdot ab}{3EI} \left(\frac{a}{L} - \frac{b}{L} \right)$</p> <p>For anti-clockwise moments the deflections are reversed.</p>
				<p>M_A <ol style="list-style-type: none"> ① $M_A = M_B$ ② $M_A > M_B$ ③ $M_A < M_B$ <p>$(M_B$ anti-clockwise) $-M_B$</p> <p>Shear diagram when $M_A \neq M_B$</p> <p>R_A R_B</p> <p>$R_A = R_B = \frac{M_A - M_B}{L}$</p> <p>① ② ③ </p> <p>When $M_A = M_B$,</p> $\sigma_{max} = \frac{M L^2}{3 E I}$ </p>

BASIT MESNETLİ KIRİŞLER

SEHİM	KAYNA	MOMENT	YÜKLEME
			<p>$w = \text{unit load}$</p> $M_A = M_B = \frac{wN^2}{2}$ $M_D = \frac{wL^2}{8} + M_A$
			<p>$w = \text{unit load}$</p> $M_A = M_B = \frac{wN^2}{2}$ $R_A = R_B = wN$
			<p>$d_C = d_E = \frac{wL^2 N}{24EI} (3n^2 + 6n - 1)$</p> $d_D = \frac{wL^4}{384EI} (5 - 24n^2)$ <p>Where $n = N/L$</p>
			<p>$d_C = d_E = \frac{wL^2 N}{24EI} (2 + N)$</p> $d_D = -\frac{wL^2 N^2}{16EI}$
			<p>$w = \text{unit load}$</p> $M_A = \frac{wL^2}{8}$
			<p>$R_A = \frac{w(N+L)}{2L} R_B = \frac{w(L+N)(L-N)}{2L}$</p> <p>$m = z/L \quad n = N/L$</p> $d_C = \frac{wL^2 N}{24EI} (3n^2 + 4n^2 - 1)$ $d_E = \frac{wL^4}{24EI} (m^2 - 2m^2(1-n) + m(1-2n))$ $d_D = \frac{wL^2 N}{24EI} (2nL - 1)$
			<p>$w = \text{unit load}$</p> <p>Max. Upward deflection is at D.</p> $M_A = \frac{wN^2}{2}$
			<p>$R_A = \frac{w(N+L+N)}{2L} \quad R_B = \frac{wN^2}{2L}$</p> <p>$d_C = \frac{wLN^2}{24EI} (4 + 3N)$</p> <p>$d_D = -0.012wL^4 N^2$</p> <p>$d_E = \frac{wLN^2 O}{24EI}$</p>

ANKASTRE KIRIŞLER

SEHİM	KAYMA	MOMENT	YÜKLEME
			 <p>$M_A = M_B = \frac{Wl}{72}$ $M_C = \frac{Wl}{24}$</p> <p>$R_A = R_B = W/2$</p> <p>$d_{max} = \frac{Wl^3}{384EI}$</p>
			 <p>$M_A = M_B = -\frac{Wl}{12L}(3L-2a)$</p> <p>$R_A = R_B = W/2$</p> <p>$d_{max} = \frac{Wa^4}{48EI}(L-a)$</p>
SEHİM	KAYMA	MOMENT	YÜKLEME
			 <p>$M_A = \frac{Wl}{12Lb}[a^2/(4L-3b) - c^2/(4L-3c)]$ $M_B = -\frac{Wl}{12Lb}[d^2/(4L-3d) - a^2/(4L-3a)]$</p> <p>$R_A = R_B$</p> <p>When R is Use simple support reaction $R_A = R_B + \frac{M_A - M_B}{L}$ $R_B = R_A + \frac{M_B - M_A}{L}$</p> <p>$d_{max} = \frac{Wl^3}{384EI}(L+2L^2a+4La^2-8a^3)$</p>
			 <p>$a/L = m$</p> <p>$M_A = \frac{Wl}{12} \cdot m (3m^2 - 8m + 6)$ $M_B = \frac{Wl}{12} \cdot m^2 (4 - 3m) + M_{max}$ $\frac{Wl}{12} \cdot m^2 (\frac{3}{2}m^2 + dm^2 - dm^2 - dm^2 - 15m - e)$ $\text{When } x = \frac{1}{2}(m^2 - 2m + 2)$</p> <p>$R_A = \frac{W(m^2 - 2m + 2)}{2}$ $R_B = \frac{W(m^2 - 2m + 2)}{2m}$</p> <p>$d_{max} = \frac{Wl^3}{384EI}(L+2L^2a+4La^2-8a^3)$</p>

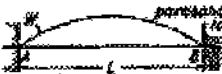
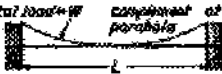
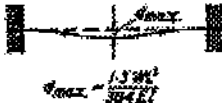
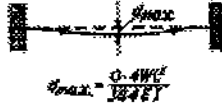
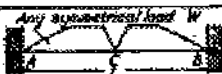
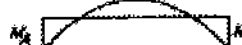
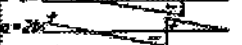
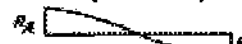
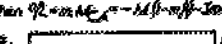
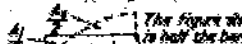
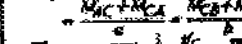
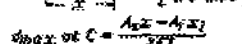
ANKASTRE KİRİŞLER

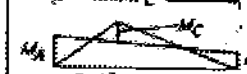
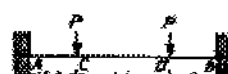
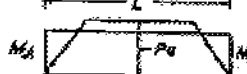
SEZİM	KAYNAK	MOMENT	YÜZDEME	SEZİM	KAYNAK	MOMENT	YÜZDEME

ANKASTRE KIRIŞLER

SEHIR	KAYNAK	MOMENT	XÜKLİME	SEHIR	KAYNAK	MOMENT	XÜKLİME

ANKASTRE KIRISLAR

SEZİN	KAYNAK	MOMENT	VİZEYİM	SEZİN	KAYNAK	MOMENT	VİZEYİM
			parabolic load				total load + W component of parabola
			$M_A = M_B = -WL/10$				$M_A = M_B = -WL/20$
			$R_A = R_B = W/2$				$R_A = R_B = W/2$
			$\delta_{max} = \frac{1.5 WL^3}{384EI}$				$\delta_{max} = \frac{0.4 WL^3}{192EI}$
			any symmetrical load W				M
			$M_A = M_B = -A_0 L$ where A_0 is the area of the "true" bending moment diagram				$R_A = R_B = 0$
			$R_A = R_B = W/2$				$M_A = M, \frac{L}{C}(2a-L)M_A = -M_L(2a-L)$ When $2a = m$, $M_A = -M_L = m/2$ (zero def.)
			$R_A = R_B = 0$				$R_A = R_B = \text{slope of gradient diagram}$ $M_A + M_C = M_B + M_C$
			$\delta_{max} = \frac{m^2 - 4a^2}{72EI}$ Where A_0 is the area of the bending moment diagram				$m = L, C = (1-m)^2/(L-2m)$ $\delta_{max} = \frac{m^2 - 4a^2}{72EI}$ For anticlockwise moments reverse the deflections

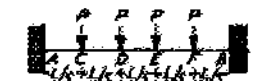
ANKASTRE KIRIŞLER					
statik	KAYNAK	NOMEN	YÜZEME		
					
					
	$M_A = -M_B = M_C = PL/3$	$M_A = \frac{PL^2}{L} \left(1 + \frac{x}{L}\right)$			
	$R_A = R_B = R_C$	$R_A = P \left(\frac{L}{L}\right)^2 \left(1 + \frac{x}{L}\right)$			
					
	$\sigma_{max} = \frac{PL^3}{192EI}$	$\sigma_C = \frac{PL^3 x^3}{3EI(L-2x)^2}$			
statik	KAYNAK	MOMENT	YÜZLEME		
					
					
	$M_A = M_B = -\frac{Pa(b-a)}{L}$	$M_A = M_B = -PL/6$			
	$M_C = M_D = Pa^2/L$	$M_C = M_D = PL/6$			
	$R_A = R_B = P$	$R_A = R_B = P$			
					
	$\sigma_{max} = \frac{PL^2}{192EI} \left(\frac{4a^2}{3L^2} \right)$	$\sigma_{max} = \frac{PL^2}{192EI}$			

ANKASTRE KIRIŞLARI

SERİSİ	KAYNAK	MOMENT	YÜKLEME	SERİSİ	KAYNAK	MOMENT	YÜKLEME

ANKASTRE KIRISLER

SEİMİ - KAYNAK - MOMENT - YÜZÜMLEME



$M_A = M_B = -\frac{2PL}{3}$
 $M_D = M_E = PL/3$

R_A
 $R_X = R_B = 2P$
 $R_E = R_Z = P/2$

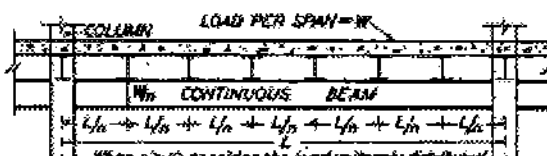
$\sigma_{max} = \frac{15PL^2}{1000EI}$



$M_A = M_B = -\frac{PL(n^2-1)}{12n}$
 $M_D = M_E = PL(n^2-1)/12n$

R_A
 $R_A = R_B = (n-1)P/2$
 $R_E = R_Z = P/2$

σ_{max}
When n is odd
 $\sigma_{max} = \frac{PL^2}{1024I} \left(\frac{n^2-1}{n-2} \left(1 - \frac{1}{n^2} \right) \right)$
When n is even
 $\sigma_{max} = \frac{PL^2}{1024I} \left(\frac{n^2-1}{2} \left(1 + \frac{1}{n^2} \right) \right) \left(n-2 \left(1 - \frac{1}{n^2} \right) \right)$



The load on the outside stingers is carried directly by the supports.
The continuous beam is assumed to be horizontal at each support.

The reaction at the supports for each span = $W/2$, but the maximum shear force in any span of the continuous beam = $\frac{W(n-1)}{2n} \cdot A \cdot W$

The ratio of the fixing moment at each support = $8/WL$.

The value of the maximum positive moment for each span = $C \cdot WL$.

The value of the maximum reaction for each span = $0.026 \frac{WL^2}{EI}$

Value of n	A	B	C
2	0.2500	0.0625	0.0625
3	0.3333	0.0741	0.0333
4	0.3750	0.0781	0.0400
5	0.4000	0.0800	0.0400
6	0.4167	0.0811	0.0419
7	0.4286	0.0816	0.0408
8	0.4375	0.0820	0.0410
9	0.4444	0.0823	0.0413
10	0.4500	0.0825	0.0415

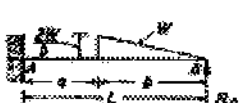
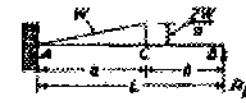
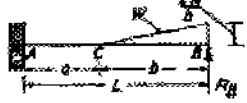
TEK TARAFI ANKASTRE KİRİŞLER

SESSİZ	KAYNAK	MOMENT	YÜKLEME	SESSİZ	KAYNAK	MOMENT	YÜKLEME

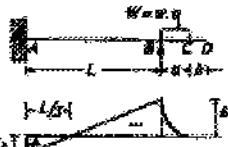
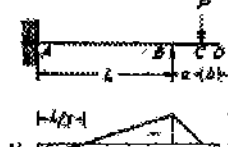
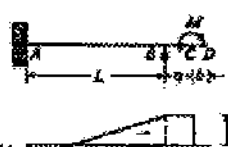
TEK TARAFI ANKASTRE KIRISLER

SEHIR	KAYNAK	MOMENT	YÜKLEME	SISTEM	KAYNAK	MOMENT	YÜKLEME

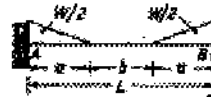
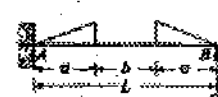
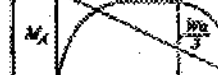
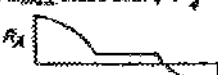
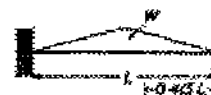
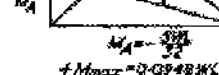
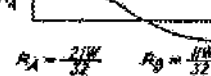
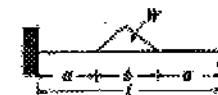
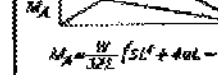
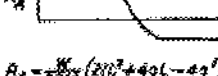
TEK TARAFLI ANKASTRE KİRİSLER

SEZİN	KAYNAK	MOMENT YÜKLEMESİ	SEZİN	KAYNAK	MOMENT YÜKLEMESİ
		 <p>$-10.577x - 0.128Wx$</p> <p>M_A between A and C: $M_A = R_B x - \frac{W}{3}x^2 (x-a)^2$</p> <p>$M_A = -\frac{Wx}{60L} (3a^2 - 15aL + 20L^2)$</p> <p>$+ M_{B,C} x, \tan x = a + \frac{3L}{2} \sqrt{1 - \frac{3L}{2}}$</p> <p>$R_A$ diagram: A trapezoid starting at zero at $x=0$, reaching a maximum of R_A at $x=a$, and returning to zero at $x=L$.</p> <p>$R_A = \frac{Wx}{20L} (5L^2 - 6a^2)$</p> <p>$R_A = W - R_B$</p>			 <p>M_A between A and C: $M_A = R_B x - \frac{W}{3}x^2$</p> <p>$M_A = -\frac{Wx}{30L} (5L^2 - 18L^2)$</p> <p>$M_A = -\frac{Wx}{15L} (a^2 - 5aL)$</p> <p>$R_A$ diagram: A rectangle of height R_A from $x=0$ to $x=a$, then a trapezoid from $x=a$ to $x=L$.</p> <p>$R_A = \frac{Wx}{3L} (3L^2 - a^2)$</p> <p>$R_B = \frac{Wx}{3L} (a^2 + 5aL)$</p>
		 <p>$-10.577x - 0.128Wx$</p> <p>M_A between A and C: $M_A = -Wx \left(\frac{x^2}{3} - \frac{3a^2}{2} + \frac{a^3}{2} \right)$</p> <p>$M_C = R_B \cdot a$</p> <p>$V_C = R_A - Wx \frac{a^2}{2}$</p> <p>$R_A$ diagram: A trapezoid starting at zero at $x=0$, reaching a maximum of R_A at $x=a$, and returning to zero at $x=L$.</p> <p>$R_A = \frac{Wx^2}{20L} (15L - 4a)$</p> <p>$R_A = W - R_B$</p>			 <p>$-10.423x - 0.128Wx$</p> <p>M_A between A and C: $M_A = R_B x + M_C - \frac{W}{3}x^2 (x-a)^2$</p> <p>$M_A = -\frac{Wx}{60L} (10L^2 - 18L^2)$</p> <p>$R_A$ diagram: A curve starting at zero at $x=0$, reaching a maximum of R_A at $x=a$, and returning to zero at $x=L$.</p> <p>$R_A = \frac{Wx}{20L} (5L^2 - 6a^2)$</p> <p>$R_B = \frac{Wx}{20NL} [x^2/(10L - 18a) + a^2/(5L - a)]$</p> <p>$R_A = W - R_B$</p>

TEK TARAFI ANKASTIK KÖprüSLER

SEZİM	KAYNAK	MOMENT	YÜKLEME	
				 $W = w(l+b)$ $M_A = -\frac{w}{2}l^2$ $M_B = -\frac{w}{2}(l+2b)$ $+ M_{max} = \frac{w}{2}(3b^2 + 2b^2 + b^2)$ $\text{when } x/l = \frac{b}{l} = \frac{1}{2}$ $P_1 = w(l - \frac{b}{2})$ $P_2 = w(l + \frac{b}{2} + \frac{b}{2}) = \frac{1}{2}P_1$ $\delta = \frac{w^2}{24EI} [6b^4 + 4b^2(l^2 + 2b^2) + l^4]$ $\sigma_{max} = \frac{w^2}{24EI} [6b^2(l^2 + 2b^2) + l^4 - 2b^2]$ $\epsilon_{max} = \frac{w^2}{24EI} [2b^2(l^2 + 2b^2) + l^4]$
				 $W = w(l+b)$ $M_A = -\frac{w}{2}l^2$ $M_B = -2M_A = -\frac{w^2}{2}l^2$ $P_1 = \frac{w}{2}l$ $P_2 = w(l + \frac{b}{2})$ $\delta_1 = \frac{w^2}{24EI} [6b^2(l^2 + 2b^2) + l^4]$ $\delta_{max} = \frac{w^2}{24EI}$
SEZİM	KAYNAK	MOMENT	YÜKLEME	 $M_A = -\frac{w}{2}l^2$ $M_B = -2M_A = -\frac{w^2}{2}l^2$ $P_1 = -\frac{w}{2}l^2$ $P_2 = w(l + \frac{b}{2})$ $\delta_1 = \frac{w^2}{24EI} [6b^2(l^2 + 2b^2) + l^4]$ $\delta_{max} = \frac{w^2}{24EI}$
SEZİM	KAYNAK	MOMENT	YÜKLEME	 $M_A = -\frac{w}{2}l^2$ $M_B = -2M_A = -\frac{w^2}{2}l^2$ $P_1 = -\frac{w}{2}l^2$ $P_2 = -w(l + \frac{b}{2})$ $\delta_1 = \frac{w^2}{24EI} [6b^2(l^2 + 2b^2) + l^4]$ $\delta_{max} = \frac{w^2}{24EI}$

TEK TABAKALANKASTRE KİRİSLER

SORUN	KAVRMA	MOMENT	YÜZLEME	SORUN	KAVRMA	MOMENT	YÜZLEME
 R_A  $M_A = -\frac{Wx}{BL}(2L-x)$ $R_A = \frac{W}{BL}(4L^2+2aL-a^2)$ $R_B = W - R_A$	 R_A  $M_A = -\frac{Wx}{BL}(4L-3a)$ When $a < L$, $M_A = \frac{W}{BL}(2a^2-12ax+12a^2-42a^2)$ + Max occurs when $x = \frac{3a}{4} = a+1$ R_A  $R_A = \frac{W}{BL}(4L^2+4aL-3a^2)$ $R_B = W - R_A$						
 M_A  $M_A = -\frac{Wx}{BL}(2L-a)$ $+ Max = 0.0348WL$ R_A  $R_A = \frac{2W}{3L}$ $R_B = \frac{W}{3L}$ $\text{Max} = 0.43L$ $\text{Max} = 0.00727 \frac{W^2}{L^2}$	 M_A  $M_A = \frac{W}{BL}(5L^2+4aL-4a^2)$ R_A  $R_A = \frac{W}{3L}(2L^2+4aL-4a^2)$ $R_B = W - R_A$						

TEK TARAFI ANKASTRE KİRİŞLER

SERİ NUM.	KAYNAK MOMENT	YÜZLEME	SESSİM	KAYNAK MOMENT	YÜZLEME	VIŞKİME

TEK TARAFI ANKASTREK KİRİŞLER

SEHİM	KAYNAK MOMENTE YÜZÜLEME	KAYNAK MOMENT YÜZÜLEME
YÜZÜLEME	<p>$M_A = \frac{PL}{3}$</p> <p>$M_C = \frac{PL}{2}$</p> <p>$M_D = \frac{2PL}{3}$</p> <p>$R_A = \frac{4P}{3}$</p> <p>$R_B = \frac{2P}{3} + 0.423L$</p> <p>$\delta_{max} = 0.052 \frac{PL^3}{EI}$</p>	<p>$M_A = \frac{3PL}{2}$</p> <p>$M_D = \frac{11PL}{24}$</p> <p>$M_E = \frac{11PL}{120}$</p> <p>$R_A = \frac{53P}{32}$</p> <p>$R_B = \frac{35P}{32} - 0.423L$</p> <p>$\delta_{max} = 0.0202 \frac{PL^3}{EI}$</p>
SEHİM	<p>$M_A = \frac{15PL}{8}$</p> <p>$M_D = \frac{21PL}{88}$</p> <p>$M_E = \frac{51PL}{224}$</p> <p>$R_A = \frac{13P}{4}$</p> <p>$R_B = \frac{21P}{4} + 0.423L$</p> <p>$\delta_{max} = 0.0102 \frac{PL^3}{EI}$</p>	<p>$M_A = \frac{3PL}{5}$</p> <p>$M_E = \frac{9PL}{25}$</p> <p>$R_A = \frac{11P}{5}$</p> <p>$R_B = \frac{7P}{5} - 0.423L$</p> <p>$\delta_{max} = 0.0285 \frac{PL^3}{EI}$</p>

TEK TARAFI ANKASTRE KIRISLER

SERHİM	KAYNAK	MOMENT	YÜKLME	TEK TARAFI ANKASTRE KIRISLER	
				SEHİM	ŞEHLİ
				<p>$L_0 = l + l/4 + l/4 + l/4 + l/4 = 5l/4$</p> <p>$M_A = \frac{3Pl}{8L}$</p> <p>$M_E = \frac{15Pl^2}{32}$</p> <p>$R_A = \frac{15P}{32}, R_B = \frac{15P}{32}$</p> <p>$\Delta_{max} = 0.022\frac{Pl^2}{EI}$</p>	<p>$M_A = \frac{Pl(6n^2 - 1)}{8n}$</p> <p>$R_A = \frac{P}{8n}(3n^2 - 4n + 1), R_B = \frac{P}{8n}(3n^2 - 4n + 1)$</p> <p>$\Delta_{max} = \frac{Pn^2}{16EI}$</p>
				<p>$M_A = \frac{3AS}{2L}$</p> <p>$R_A = \frac{W}{2} + \frac{M_A}{L}, R_B = \frac{W}{2} - \frac{M_A}{L}$</p> <p>$\Delta_{max} = \frac{Wx}{EI}$</p>	<p>$M_A = \frac{M}{2}(2 - 6n + 3n^2)$</p> <p>$M_C = \frac{M}{2}(2 - 6n + 6n^2 - 3n^3)$</p> <p>$M_B = \frac{3M}{2}(2 - 3n + n^2)$</p> <p>$R_A = R_B = \frac{M + M_A}{L}$</p> <p>In Case I, $R = 3M/2L$ In Case II, $R = M/L$</p>

